

鹿島建設技術研究所 正員 正村 芳久
 〃 正員 村山 八洲雄
 〃 正員 三材 長二郎

1. はじめに RC橋脚の耐震設計の観点から、RC橋脚の地震時復元力特性の評価が重要な課題になっており、これに着目した実験研究が種々行なわれている。その大部分は静的加力実験によるものであつて、地震時の動荷重の影響については、まだ研究例が少なく必ずしも明確でない。

そこで、本研究ではRC柱の基本的な模型部材について、振動台及び電磁油圧式動的ジャッキによる加力試験を行ない、非線形復元力特性に及ぼす載荷速度の影響を調べた。

2. 試験方法 シアースパン比が5.7の逆T型試験体を用い(図-1参照)、7種類の試験を行なった(表-1参照)。このうち振動台試験では柱頭部に回転が自由の円形重錘板(重さ4ton)を取付けて慣性力を与えた。動的ジャッキの試験では、各載荷レベルでの載荷回数を10回づつに設定し、また各試験体間の相違に留意して載荷回数的前半と後半で、載荷速度の組み合わせを変えるようにした(表-2参照)。

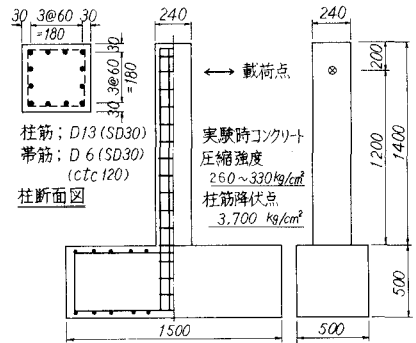


図-1 試験体の形状寸法、配筋

ここで、振動台及び動的ジャッキ試験の振動方程式は、柱部自重が小さく、柱頭部等価1質点系で表わすと、それぞれ(1)式及び(2)式となる。

$$-M(\ddot{z} + \ddot{x}) = k \left\{ 1 + i \left(\frac{C}{k} \dot{w} + \beta \right) \right\} x \quad \text{---- (1)}$$

$$P - m\ddot{x} = k \left\{ 1 + i \left(\frac{C}{k} \dot{w} + \beta \right) \right\} x \quad \text{---- (2)}$$

ここで、 $M(\ddot{z} + \ddot{x})$ は柱頭慣性力、 P はジャッキ荷重、 $m\ddot{x}$ はジャッキ加力部および柱部の等価慣性力、 k は柱部剛性、 $\left(\frac{C}{k} \dot{w} + \beta \right) \equiv \alpha$ は粘性減衰と履歴減衰を含めた損失係数、 x は柱頭部相対変位である。即ち両式の左辺を測定することによって両試験は同等に扱える。

一方、相似則については、載荷速度が関係する粘性減衰効果に注目するため、試験体のひずみレベルとひずみ速度を実橋と同じにすると、これは変位を幾何学的縮尺に対応させ、時間軸を同じにすることになる。すなわち試験体での載荷速度としては、幾何学的縮尺に対応した値であり、縮尺を戻した値が実橋での載荷速度となる。

表-1 試験体の種類

試験体 No.	軸心力	加力法	制御	入力加速度、速度
1		振動台	地震波入力	開北橋 Tr. max. 900, 2500 gal
2	7kg/cm ²		SIN波入力	1.8Hz 400-700 gal 2.2Hz 800, 1100 gal
3		動的ジャッキ	SIN変位	20(-0.2) kline
4			SIN変位	0.2(-20) kline
5			SIN変位	0.02(-20) kline
6			SIN変位	0.008(-20) kline ~0.002(-20) kline
7	7kg/cm ²		SIN変位	0.2 kline

表-2 載荷パターン(No.3試験の例)

変位振幅 cm	速度振幅 kline (繰返し回数)
0.2	10 → 0.2 (5) (5)
0.5	16 (5) (5)
0.75	20 (5) (5)
0.5	2.0 → 0.2 → 0.02 → 16 (5) (5) (5) (5)
0.75	2.0 → 0.2 → 0.02 → 20 (5) (5) (5) (5)
1.0	2.0 → 0.2 (5) (5)
2.0	2.0 → 0.2 (5) (5)
3.0	2.0 → 0.2 (5) (5)
4.0	2.0 → 0.2 (5) (5)
5.0	2.0 (5) (5)

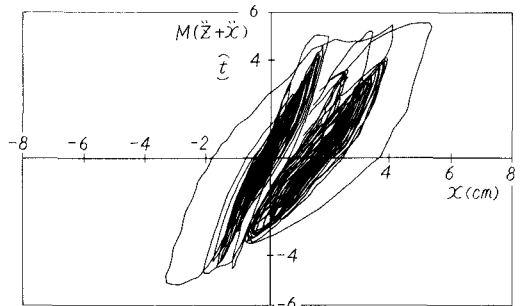


図-2 No.1試験(振動台・地震波)P-δ曲線

3. 試験結果 No.1 試験では、固有振動数がひびわれ前で 6.5 Hz、ひびわれ後の鉄筋降伏程度で 3.7 Hz、最大荷重程度で 3.0 Hz のように変化した。この試験体はトップヘビーなので、地震波入力でも応答は、これら固有振動数に相当する振動数成分が卓越し、載荷回数、載荷速度、載荷履歴などは入力波に対する応答に応じたものであるが、慣性力～変形の関係には明瞭な包絡線が現われており、紡錘型のヒステリシスループが形成されている(図-2 参照)。

No.2 試験では、上述の応答が Sin 波状であるので、Sin 波定常入力により、載荷回数を限定して加振すると、鉄筋降伏程度では相対変位が約 1 cm で載荷速度振幅は 11~14 line であった。しかし、最大荷重程度の応答では部材の劣化が伴い、載荷回数ごとに相対変位が伸びてしまった(図-3 参照)。ただし慣性力～変形の包絡線は、上述の地震波入力の場合と同様であり、復元力特性を調べるのに Sin 波加振が有用である。

No.3~No.6 試験では、柱頭部に動的ジャッキを取付け、軸力は除いて、変位制御で載荷回数を限定しながら、載荷速度を種々変化した。その結果は、非線形剛性を荷重～変形の包絡線の割線勾配で、また減衰効果は(2)式の α で表した(図-4 参照)。ここで、剛性については、一つの試験体で載荷速度の変わる載荷回数 5 回目と 6 回目の結果を、種々の試験体について示したが、載荷速度の影響は見受けられない。また減衰については、(2)式の α をヒステリシスループの面積から求めて整理すると、やはり載荷速度の影響は見受けられず、さらには(2)式を展開し \dot{x}_{max} 点での $\alpha = \frac{(P)x=0}{k \cdot x_{max}}$ として求めても殆んど変りなかった。すなわち剛性は処女載荷と繰り返し載荷後で違いはあっても、載荷速度より塑性率の方に影響され、また減衰効果も塑性率に依存していることが分かった(図-5 参照)。

No.7 試験では、軸力を作用させ、載荷速度を一種類の 0.2 line とすると、荷重～変形の包絡線は(図-6 参照)、振動台加振による No.2 試験でのものと比べて、最大荷重程度までは同様であり、それ以降は載荷回数の影響で劣化してきて靱性率としては減少する。

4. まとめ 柱脚部の鉄筋の抜け出しが伴う RC 曲げ柱について、基本的な模型部材で剛性や減衰性状を調べると、載荷速度の影響は見受けられず、静的加力試験の結果で有効とみられる。

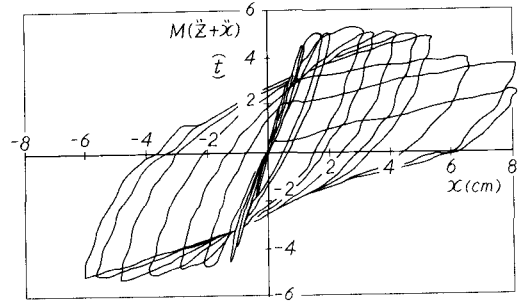


図-3 No.2 試験(振動台・Sin波) P-δ 曲線

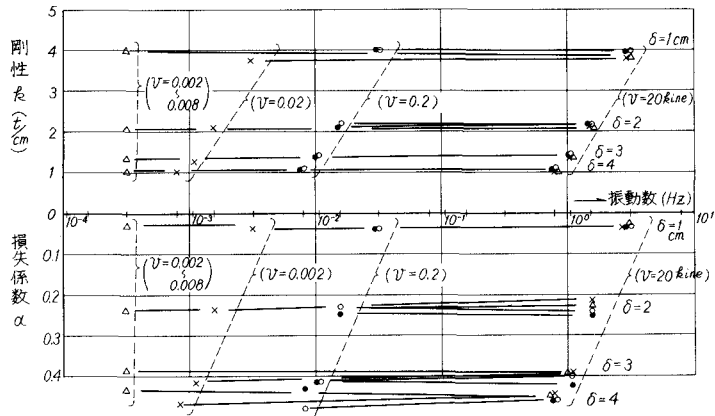


図-4 No.3~No.6 試験での剛性と減衰係数 ○:No.3, ●:No.4, ×:No.5, △:No.6

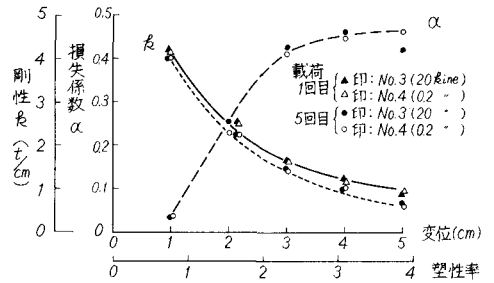


図-5 塑性率に対する剛性と減衰係数の変化

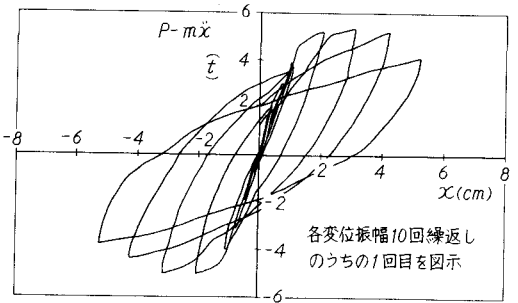


図-6 No.7 試験(動的ジャッキ・Sin) P-δ 曲線